

불소운모의 결정화

송경근 · 오근호 · 이경희*

한양대학교부기재료공학과

*명지대학원 공학과

(1982년 1월 6일 접수)

Crystallizations of Fluoro-Phlogopite

K. K. Song, K. K. Orr and K. H. Lee*

Inorganic Materials Eng. Dept., Hanyang Univ.

*Ceramic Eng. Dept., Myungji College

(Received Jan. 6, 1982)

ABSTRACT

Fluoro-phlogopite crystals (Mica) were synthesized by two different methods; firstly the crystal was crystallized from the melts, and secondly mica crystalline was obtained from the direct solid state reaction.

Addition of CaF_2 in the mica batch revealed the lowering the solid state reaction temperature.

SEM and XRD were employed to observe mica crystalline flakes and solid solution forms. As a starting raw material Pyrophyllite was used resulting in the formation of mica crystals.

1. 서 론

운모는 sheet silicates의 한 광물로서 일반적으로 기계적 강도가 강하면서 다른 ceramics와는 달리 구부리거나 휘어지기 쉽고, 조개질 때 결정면에 따라서 조개지는 특수한 성질을 가지고 있다. 이러한 운모의 결정 크기가 아주 미세하고 그 결정의 방향성이 무질서하게 (randomly) 되어 있다면 구부리지고 휘어지는 성질을 유지하면서 결정면에 따라 조개지는 것을 막을 수 있을 것이다.

Machinable Ceramics라는 것은 유리질의 matrix에 운모 결정이 일정한 방향을 갖지 않고 골고루 분포되어 결정화되어 있는 일종의 glass-ceramics이다. 운모에는 많은 종류가 있는데 본 연구에서 다룬 것은 불소(Fluorine)를 함유한 운모로서 결정식은 fluoro-phlogopite ($\text{KMg}_3\text{AlSi}_3\text{O}_{10}\text{F}_2$)이다.

본 연구에서는 먼저 유리를 만들어 그 유리의 matrix에 fluorophlogopite를 결정화 시켰다. 그리고 이 결정의 성분 가운데 MgF_2 를 CaF_2 로 여러가지 비율로 대체해 봄으로써 낮은 용융점을 갖는 fluoro-phlogopite의 고용체를 만들 수 있었다. 지금까지의 Machinable Ceramics의 핵심은 유리를 먼저 만들고 fluoro-phlogopite를 결정화하는 방법을 채택했었으나 본 실험에서의 CaF_2 를 침가한 저 용융 fluoro-phlogopite 핵심은 유리의 용융단계 없이 직접 glass-ceramics를 혼성할 수 있는 가능성을 보여 주었다.

또한 국내 친연 원료를 이용한 fluoro-phlogopite의 핵심 가능성도 연구하여 보았다.

2. 문헌고찰

1969년 Shell과 Ivey가 hot-press 방법으로 fluoro-phlogopite를 유리 matrix에 혼성한 후 (1), Corning

회사의 Beall (2), Chyung 이 (3) 이를 꾸준히 개발하여 드디어 Corning 유리회사는 Macor라는 상표로서 machinable ceramics 를 상품으로 등장시켰다.

그림 1은 보통 쇠를 깎는 공구(tools)로써 Macor 를 공작하여 필요한 모양의 형태를 만드는 장면이다. 그림 2는 그러한 공정을 통하여 완성된 제품들을 보여주고 있는데, 나사(screw), 톱니바퀴(gear) 등의 섬세한 공작물을 예로 들을 수 있다. 이와같이 Macor는 보통의 ceramics 로는 상상도 할 수 없는 공작이 가능하며 그 경밀도는 0.005"(inch)의 오차범위를 나타내는 초경밀성을 갖는다. 또한 이 Macor는 다른 ceramics 와 같이 기계적, 열적, 내화학성이 훌륭하며, 더 나아가서는 좋은 dielectric 재료이다.

Beall 과 Chyung(2,3)의 Macor (machinable ceramics) 합성방법은 Shell, Ivey (1)의 방법과는 다르게, 먼저 fluoro-phlogopite 조성으로 배합하여 1,450°C~1,500°C에서 유리를 만든 후, 냉각하면 불소가 밀집되어 있는 곳에서 유리가 분리되어 2개의 상(phase)을 갖게된다. 이러한 유리를 다시 950°C~1,100°C 정도로 가열하면 불소가 풍부한 곳에서 norbergite($Mg_2SiO_4MgF_2$) 결정이 생성되고 norbergite 가 다시 phlogopite 결정으로 변태한다(4). 여기서 norbergite 생성과 phlogopite의 결정크기 및 분포는 결정생성 온도와 시간으로 조절할 수가 있다. Chyung(3)은 기계적 성질, 특히 공작 가능성(machinability)에 대하여 연구하였는데 운모(phlogopite) 결정의 크기와 압축 강도와의 관계를 조사한 바, 크기가 커질수록 기계적 강도는 감소하는 결과를 발견하였다.

Fluoro-phlogopite의 결정 구조는 그림 3에서 보여 주듯이, 두 층은 K^+ 로 약한 결합을 이루고 있어 운모의 구부러지기 쉬운 성질을 갖고있다.

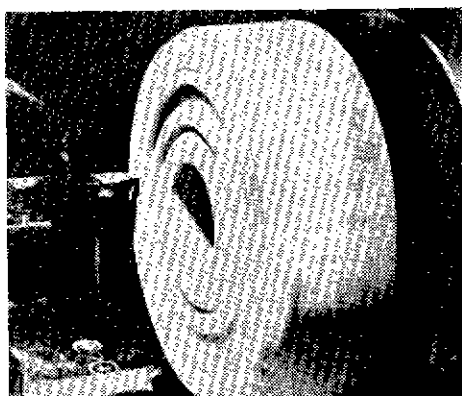


Fig. 1 Machining of the machinable ceramics (Macor) using common steel tools.

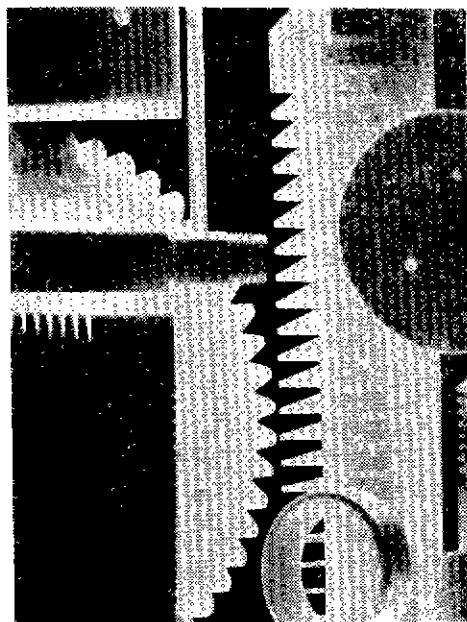


Fig. 2 The delicates, screw, gear, etc. made of Macor[®]. Precision is about 0.005"(inch).

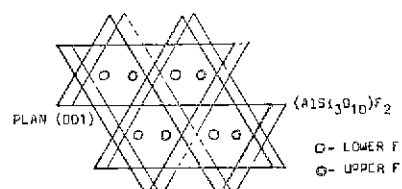
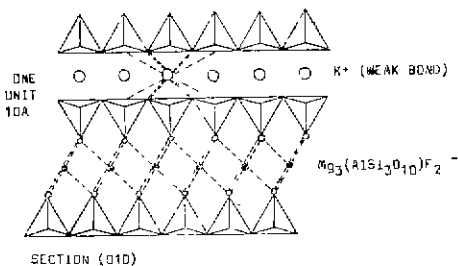


Fig. 3 Schematic diagram of fluoro-phlogopite structure

3. 실험방법

3.1 합성 및 결정화

Fluoro-phlogopite ($KMg_3AlSi_3O_{10}F_2$) 조성에서 MgF_2 를 뺀 나머지, K_2CO_3 , $4MgCO_3$, Al_2O_3 , $6SiO_2$ 를 화

학적으로 순수한 시약을 사용하여 화학 천평에서 0.0001g의 오차로 정확히 달은 다음, agate 유발에 닦고 aceton을 가하여 충분히 혼합한 후 aceton이 완전히 제거되도록 건조시킨 다음 1,150°C에서 4~5시간 하소하였다. 이 조작을 2~3번 반복함으로써 이산화탄소를 완전히 증발시키고 고체반응을 얻으려 하였다. 그 다음, 정화한 양의 MgF_2 를 첨가하여 1,450°C에서 유리를 형성한 후 950°C~1,100°C에서 결정화를 시켰다.

그리나 이 방법은 에너지 소모가 너무 많아서 처음의 조합을 1,200°C~1,250°C로 소성 함으로써 운모 결정을 직접 합성하는 방법을 시도했다. 즉, CaF_2 와 같은 저 용융 시약을 넣어, 낮은 온도에서 유리화와 동시에 운모 결정체를 생성시킴으로써 단일 공정의 Machinable Ceramics 합성을 보색했다.

3.2 XRD, DTA, SEM

열시차 분석(DTA)을 사용하여 유리질의 결정화 생성 및 결정화 온도를 측정하였고, X선 회절(XRD)로써 운모(fluoro-phlogopite) 형성을 조사했다. 그리고 SEM을 사용하여 운모 결정의 양상을 관찰하였다.

3.3 MOR (Modulus of Rupture)

1cm×1cm×7cm의 시편을 만들어 1,350°C에서 소결 반응을 시킨 후, MOR 측정을 하였다.

4. 결과 및 고찰

4.1 운모합성

Fluoro-phlogopite(운모)의 조합을 1,400°C에서 소성한 것과 1,500°C에서 용융시켜 유리화 시킨 것을 XRD와 DTA로 조사하였다. 1,400°C에서 소성한 것은 운모가 결정화되어 있어서 그림 4의 A에서와 같이 DTA 반응이 없었으나, 1,500°C에서 유리화 시킨 것은 그림 4의 B에서 보듯이 norbergite가 800°C~850°C에서 일어나기 시작하고 1,100°C 정도에서 운모가

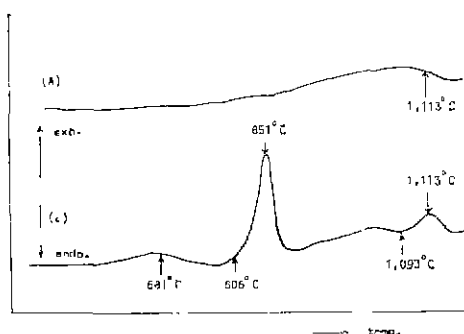


Fig. 4 DTA (A) Phlogopite (B) Glass

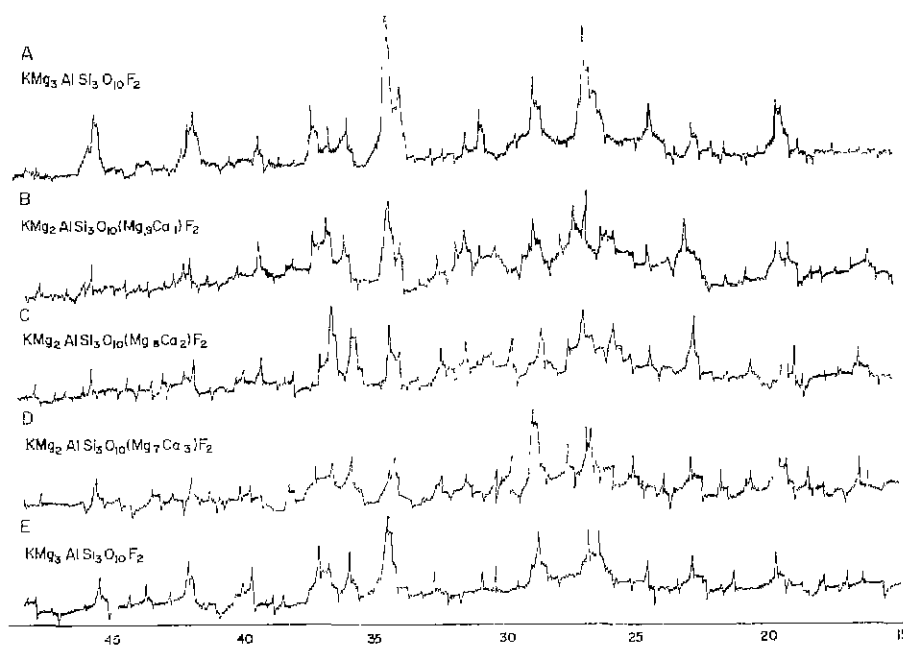


Fig. 5 XRD Results of composition A, B, C, D and E

** used pyrophyllite

결정화하는 현상을 보였다.

같은 조합으로 하여 소성 온도를 낮추어 약 $1,150^{\circ}\text{C}$ 경도로 소성을 하여 그 온도에서 약 4시간을 유지한 후, 냉각시킨 결과 $1,400^{\circ}\text{C}$ 에서 소성한 것을 XRD로 비교해 보았더니 운모 결정은 같은 결과를 보여주었다. 그럼 5의 A는 $1,150^{\circ}\text{C}$ 에서 소성한 운모 결정의 XRD이다.

그림 6은 흰색 운모 결정을 SEM으로 관찰한 것인데, 약 20,000 배로 확대된 이 그림에서 운모의 결정을 분명히 볼 수 있다.

유리화를 시킨 다음, 운모를 결정화하면 유리 matrix가 되어 있으므로 운모간에 공간이 없어지게 된다. 만약 $1,150^{\circ}\text{C}$ 의 비교적 낮은 온도에서 유리화가 되면서 동시에 운모 결정도 일어나면, $1,500^{\circ}\text{C}$ 의 고온까지 온도를 올려 유리를 만든 후 다시 운모 결정화를 하는 조작을 피할 수 있다.

4.2 운모 결정에서 MgF_2 와 CaF_2 고용체

그림 5의 B, C, D는 운모의 MgF_2 에 각각 10%, 20%, 30%의 비율로 CaF_2 를 대체시켜 고용체를 만들어 놓았던 것들의 XRD 결과이다.

그림에서 보듯이 약 20%의 CaF_2 를 대체하여도 운모 결정(fluoro phlogopite)은 고용체(solid solution)로서 존재하나, 30%를 대체하였을 때는 운모 결정과 함께 다른 결정이 존재한다는 것을 알 수 있다.

그림 6, 7, 8, 9를 비교해 보면 CaF_2 의 첨가량이 증가함에 따라 운모 결정은 점점 희미해지나 운모간의 공간에는 유리질이 많이 생기는 것을 보여준다. 이는 곧 CaF_2 가 용융점을 낮춰 해줌으로써 유리 형성이 쉬워진 사실을 나타내준 것이다. 특히 그림 9를 보면 운모가 희미하게 결정화되어 있으며 결정과 결정 사이에는 완전히 유리질로 채워져 있는 것을 분명하게 볼 수 있다.

4.3 국내 천연 원료

천연원료로써 남석(pyrophyllite)을 사용하였다. 그 화학성분은 표 1과 같다. 이것은 주 원료로 하고 운모 성분에 고자라는 양은 시약을 침가학으로써 조합비를 맞추었다. 그럼 5의 E는 친연원료를 사용한 것의 XRD 그림인데 천연원료를 이용한 운모 합성의 가능성을 분명하게 보여주었다. 그림 10은 SEM으로 관찰한 것인데 천연 원료이므로 불순물로 인하여 용융점이 많이 낮아져서 유리질을 더기 지기서 볼 수 있고 그 사이에 둥그런 모양의 운모 결정을 발견할 수 있다.

4.4 곡 강도(MOR) 실험

운모, 10% CaF_2 , 20%의 CaF_2 를 대체한 것, 그리고 천연 원료 등의 4가지 다른 시편을 만들어 MOR



Fig. 6 Mica(phlogopite) Crystals ($\times 20,000$)



Fig. 7 Mica crystals in solid solution composition in 10% CaF_2 substituted for MgF_2 . ($\times 20,000$)

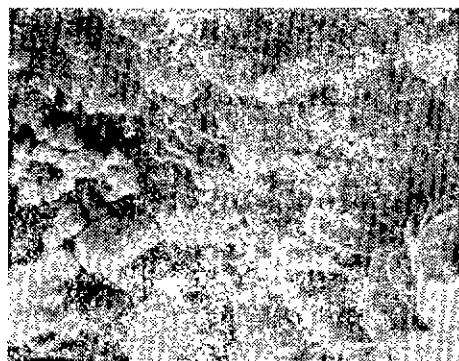


Fig. 8 Mica crystals in solid solution composition in 20% CaF_2 substituted for MgF_2 ($\times 10,000$)



Fig. 9 30% substituted solid solution where secondary phase appeared with Mica crystals (x3,000)

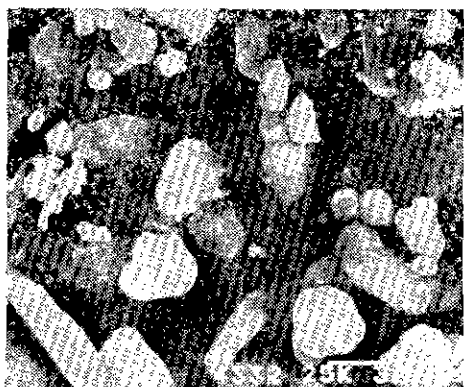


Fig. 10 Mica crystals used pyrophyllite in composition. Mica crystals are shown but due to the impurities in pyrophyllite secondary phases are shown. (x10,000)

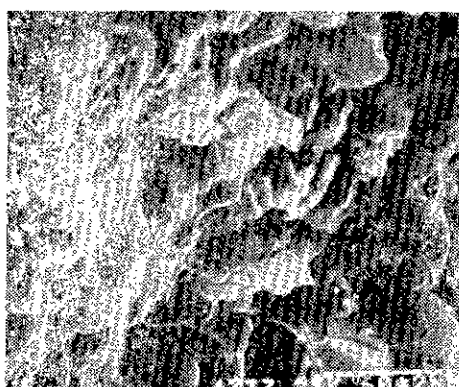


Fig. 11 Fracture surface of solid solution in 20% CaF_2 substituted for MgF_2 . Cleavage fracture in Mica crystals are directional: parallel to Mica crystals plate. (x5,000)

Table 1 Chemical Analysis of Raw Raw Material (Pyrophyllite)

Composition	Wt. (%)
SiO_2	74.6
Al_2O_3	16.6
Fe_2O_3	0.9
MgO	0.3
K_2O	4.0
Na_2O	0.1

Table 2 M O R Test

Formula	M O R (kg/cm^2)
$\text{KMg}_3\text{AlSi}_3\text{O}_{10}\text{F}_2$	350
$\text{KMg}_2\text{AlSi}_3\text{O}_{10}(\text{Mg}_{0.9}\text{Ca}_{1.1})\text{F}_2$	450
$\text{KMg}_2\text{AlSi}_3\text{O}_{10}(\text{Mg}_{0.8}\text{Ca}_{2.2})\text{F}_2$	520
$\text{KMg}_3\text{AlSi}_3\text{O}_{10}\text{F}_2^{**}$	480

**used pyrophyllite

실험을 한 결과를 표 2에서 보여주고 있다. 시편의 소성 온도로는 $1,350^\circ\text{C}$ 에서 두 시간을 유지했으며, CaF_2 가 증가함에 따라 유리질이 증가되므로 이에 따라 MOR의 강도가 증가되는 것은 당연하다. 그림 11은 CaF_2 가 20% 침가된 시편의 MOR 측정 후의 과피면을 SEM으로 본 것인데 결편의 방향이 운모 결정면과 평행하게 되어 있는 것을 볼 수 있다.

5. 결 론

- (1) 불소 운모(fluoro-phlogopite)의 합성에 있어서 적절 조성하는 망법과 유리질을 만든 후 다시 결정화시키는 두 가지 망법을 제택했다.
- (2) CaF_2 의 침가로 용융점을 낮게 하면 유리질과 운모 결정화가 동시에 일어나는 사실을 알아냈다.
- (3) 20%의 CaF_2 까지는 MgF_2 의 대체가 가능하며 solid solution 을 형성한다. 그리고 CaF_2 가 증가함에 따라 MOR 강도가 증가함을 발견하였다.
- (4) 천연 월트인 납석으로 fluoro-phlogopite 합성에 성공하였으며 이는 Machinable Ceramics를 국내에서 공업화할 수 있다는 가능성을 제시한다.

감사의 말

본 연구는 1980년도 2기분 한국과학 재단의 연구비 지원으로 수행되었으며 과학재단에 깊은 감사를 표한다.

참 고 문 헌

1. H. R. Shell and K. H. Ivey, "Fluorine Micas", Bureau of Mines Bull. 647, U. S. Dept. of Interior (1969).
2. G. H. Beall, "Structure, Properties, and Applications of Glass-Ceramics", Advances in Nucleation and Crystallization in Glasses, p 251, Ed. L. L. Hench, et al., Am. Cer. Soc. (1972).
3. K. Chyung, "Fracture Energy and Thermal Shock Resistance of Mica Glass-Ceramics", Fracture Mechanics of Ceramics, p 495, Ed. R. C. Bradt, et al., Plenum Press, N. Y. (1974).
4. K. Chyung, G. H. Beall, D. G. Grossman, "Fluorophlogopite Mica Glass-Ceramics", 10th International Congress on Glass, P 122, Japan. Cer. Soc. (1974).